

IB-1426-VM-9651.- Granito porfídico biotítico moscovítico en la carretera Bohonal de Ibor - Mesas de Ibor.



IB-1426-VM-9652.- Granito porfídico biotítico-moscovítico, con enclaves en la carretera Bohonal-Valdelacasa.



IB-1426-VM-9653.- Misma fotografía anterior con lente de aproximación.





IB-1426-VM-9654.- Panorámica del afloramiento granítico donde se realizaron las fotografías 9652 y 9653, donde se aprecia claramente la disyunción bolar de estas facies.



IB-1426-VM-9655.- Granito grano grueso-medio.



IB-1426-VM-9656.- Granito grano grueso-medio.



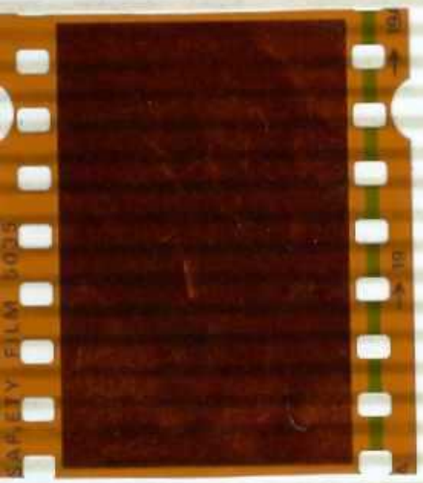
IB-1426-VM-9657.- Panorámica de los afloramientos graníticos donde se realizaron las fotografías 9655 y 9656.



IB-1426-VM-9658.- Facies bandeadas. Tramo superior de alternacias pizarroso-grauváquicas en la carretera Bohonal de — Ibor - Fresnedoso de Ibor.



IB-1426-VM-9659.- Facies bandeadas. Tramo superior de alternacias pizarroso-grauváquicas en la carretera Bohonal de — Ibor - Fresnedoso de Ibor.



IB-1426-VM-9660.- Pliegue de 1ª Fase en los tramos superiores de la Facies bandeadas. Carretera Valdelacasa de Tajo - Puente del Arzobispo.



IB-1426-VM-9661.- Mismo afloramiento anterior.



IB-1426-VM-9662.- Detalle de los conglomerados con metamorfismo de contacto (11).



IB-1426-VM-9663.- Detalle de los conglomerados con metamorfismo de contacto (11).



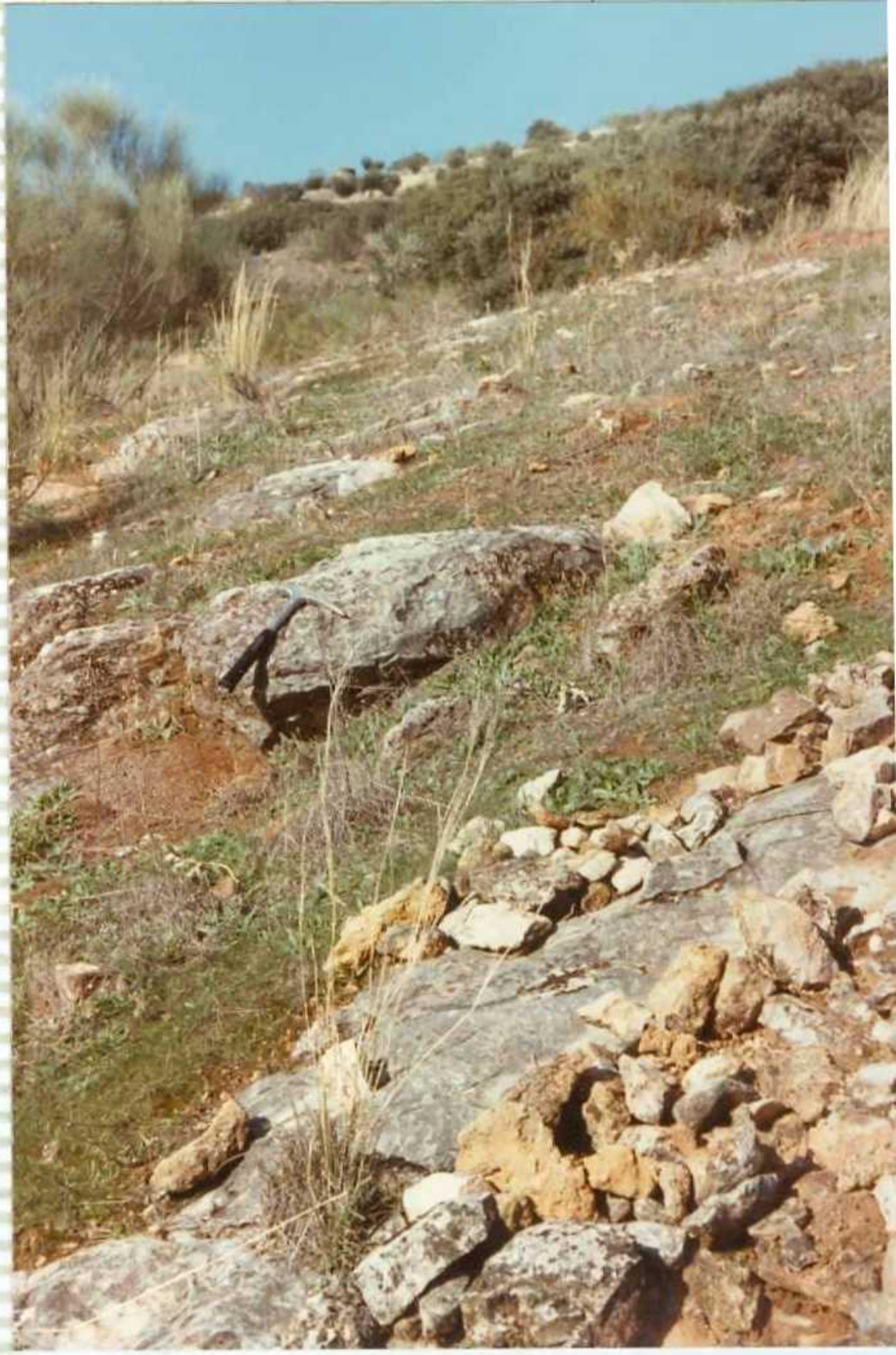


IB-1426-VM-9664.- Afloramiento donde fueron tomadas las fotografias 9662-9663 y que pertenece a los conglomerados (11) intercalados en el tramo superior de las Facies bandeadas.



IB-1426-VM-9665.- Mármoles con silicatos cálcicos (9) intercalados en el tramo superior de las Facies bandeadas. Panorámica del afloramiento.

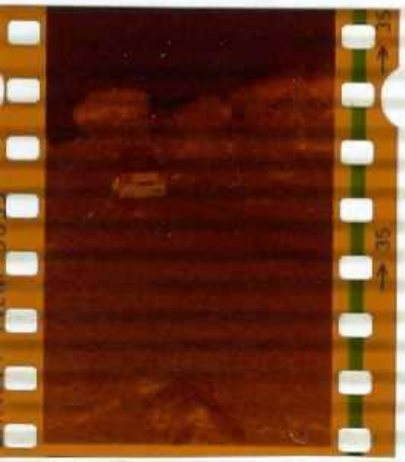




IB-1426-VM-9666.- Idem anterior en otro punto de la formación



IB-1426-VM-9667.- Afloramiento muy erosionado del Nivel de Fuentes en la carretera Valdelacasa - Puente del Arzobispo.





IB-1426-VM-9668.- Afloramiento muy erosionado del Nivel de Fuentes en la carretera Valdelacasa - Puente del Arzobispo.



IB-1426-VM-9669.- Panorámica de las pizarras con metamorfismo de contacto (13) en la carretera Valdelacasa - Puente del Arzobispo.





IB-1426-VM-9670.- Panorámica de las pizarras con metamorfismo de contacto (13) en la carretera Valdelacasa - Puente del Arzobispo.



IB-1426-VM-9671.- Detalle del nivel conglomerático basal en la formación conglomerados, areniscas, cuarcitas y pizarras (17).



IB-1426-VM-9672.- Metamorfismo de contacto (andalucita) en las facies pelíticas de la formación conglomerados, arenis_ cas, cuarcitas y pizarras (17).





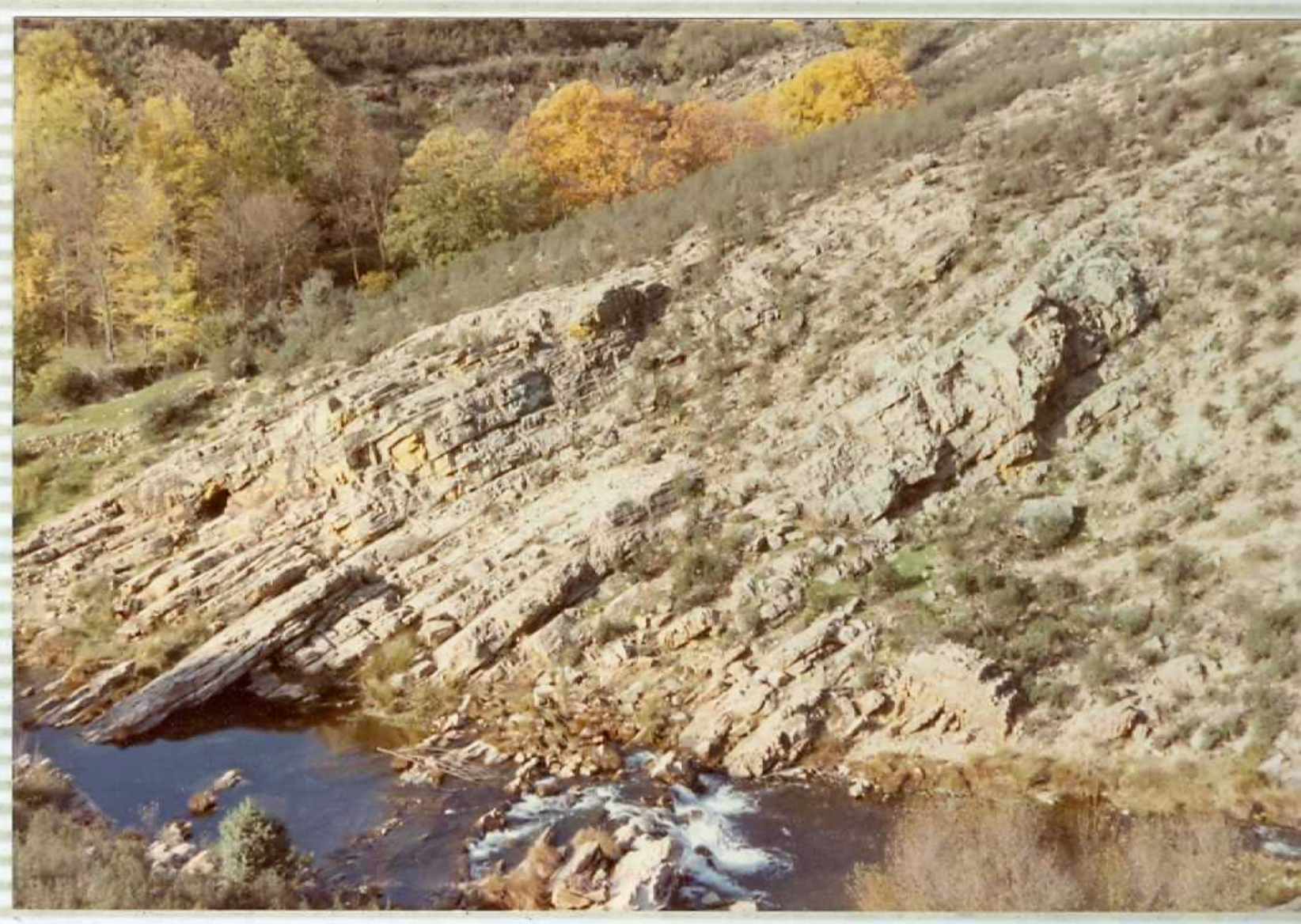
IB-1426-VM-9673.- Panorámica de la cuarcita Armoricana en el Flanco NE del Sinclinario del Guadarranque - Gualija. Se aprecia claramente el leve buzamiento de las capas.



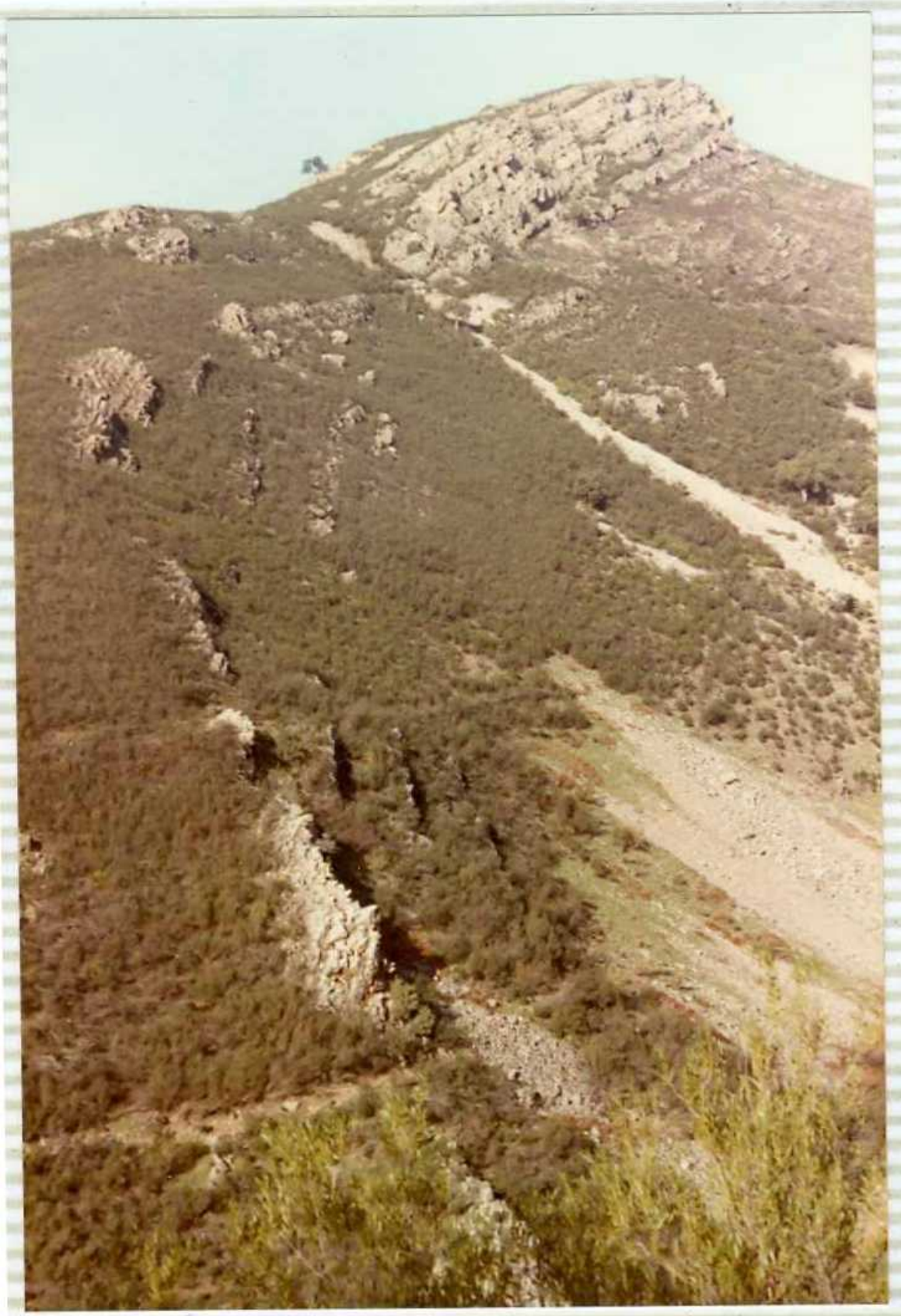
IB-1426-VM-9674.- Panorámica de la Cuarcita Armoricana del Flanco NE tomada desde la Raña de El Planchón.



IB-1426-VM-9675.- Flanco SO (invertido) de la Cuarcita Armoricana en la carretera que va de Bohonal de Ibor a Fresnedoso de Ibor.



IB-1426-VM-9676.- Cuarcita Armoricana, en las inmediaciones de Fresnedoso de Ibor.



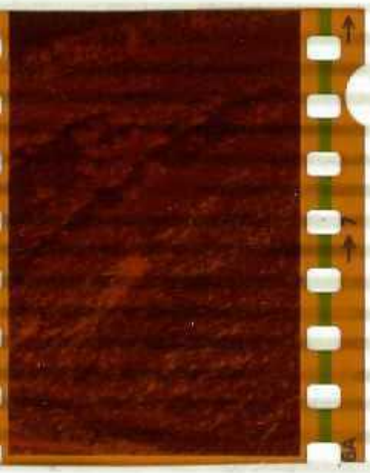
IB-1426-VM-9677.- Panorámica de las pizarras y cuarcitas alternantes. La cresta es ya Cuarcita Armoricana.



IB-1426-VM-9678.- Pizarras y cuarcitas alternantes.



IB-1426-VM-9679.- Pizarras y cuarcitas alternantes.





IB-1426-VM-9680.- Panorámica de la Pizarras con "Calymene" Al fondo se observan las Pizarras y cuarcita alternantes y la Cuarcita Armoricana.



IB-1426-VM-9681.- Panorámica de las Pizarras con"Calymene". En primer término las cuarcitas pardas del Caradoc y en el horizonte la Cuarcita Armoricana.



IB-1426-VM-9682.- Afloramiento de Pizarras con "Calymene" en la ctra Bohonal - Fresnedoso de Ibor.



IB-1426-VM-9683.- Relación Estratificación - Esquistosidad de 1ª Fase en las Pizarras con "Calymene".





IB-1426-VM-9684.- Areniscas y cuarcitas.



IB-1426-VM-9685.- Cuarcitas y areniscas pardas. Pliegue de 1ª Fase Hercínica.



IB-1426-VM-9686.- Cuarcitas y areniscas pardas. Pliegue de 1ª Fase Hercínica.

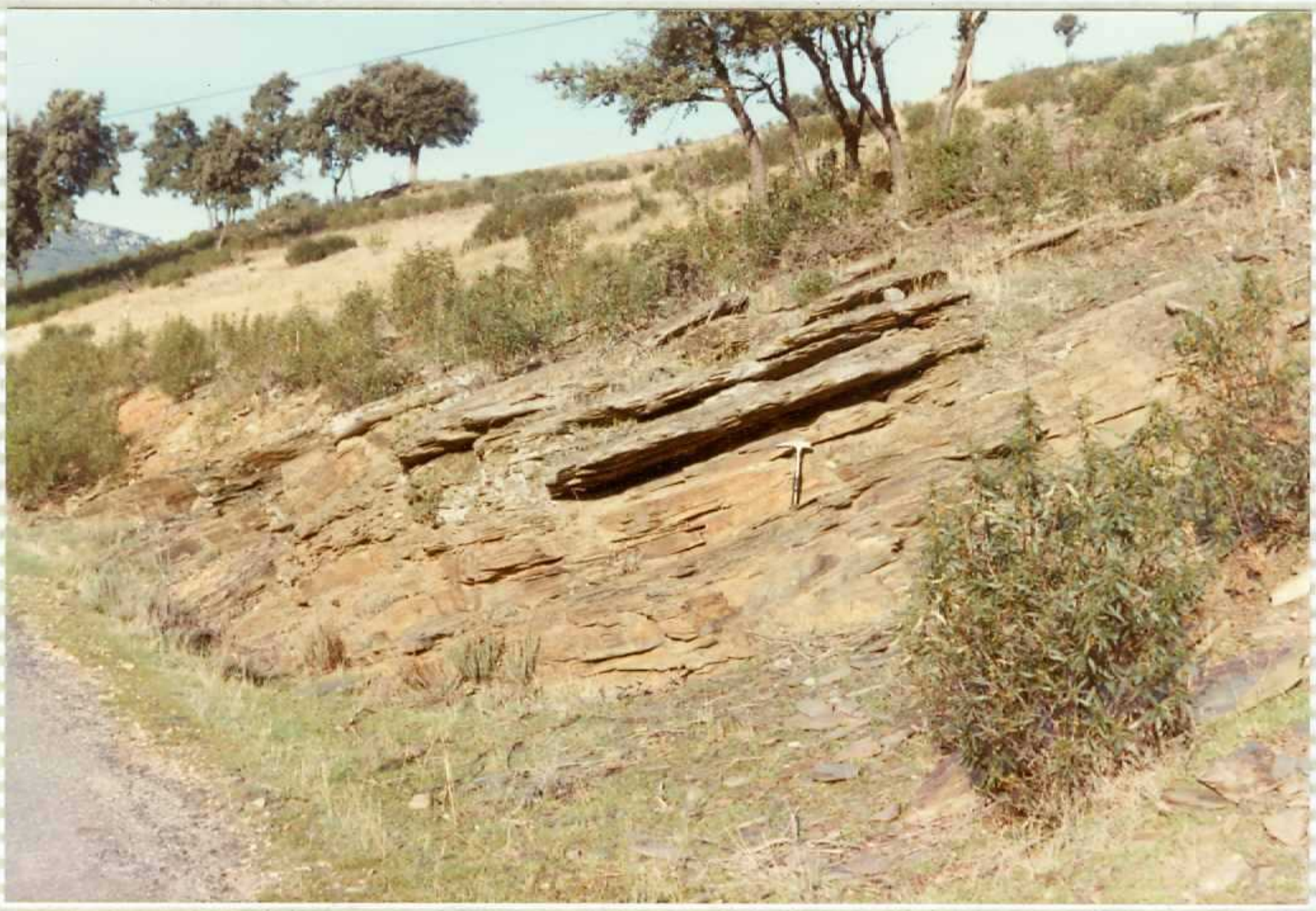


IB-1426-VM-9687.- Cuarcitas y areniscas pardas en la Carretera Bohonal - Fresnedoso de Ibor.





IB-1426-VM-9688.- Cuarcitas y areniscas pardas en la Carretera Bohonal - Fresnedoso de Ibor. Detalle del afloramiento.



I8-1426-VM-9689.- Pizarras gris-negruzcas masivas. Carretera Bohonal - Fresnedoso de Ibor.



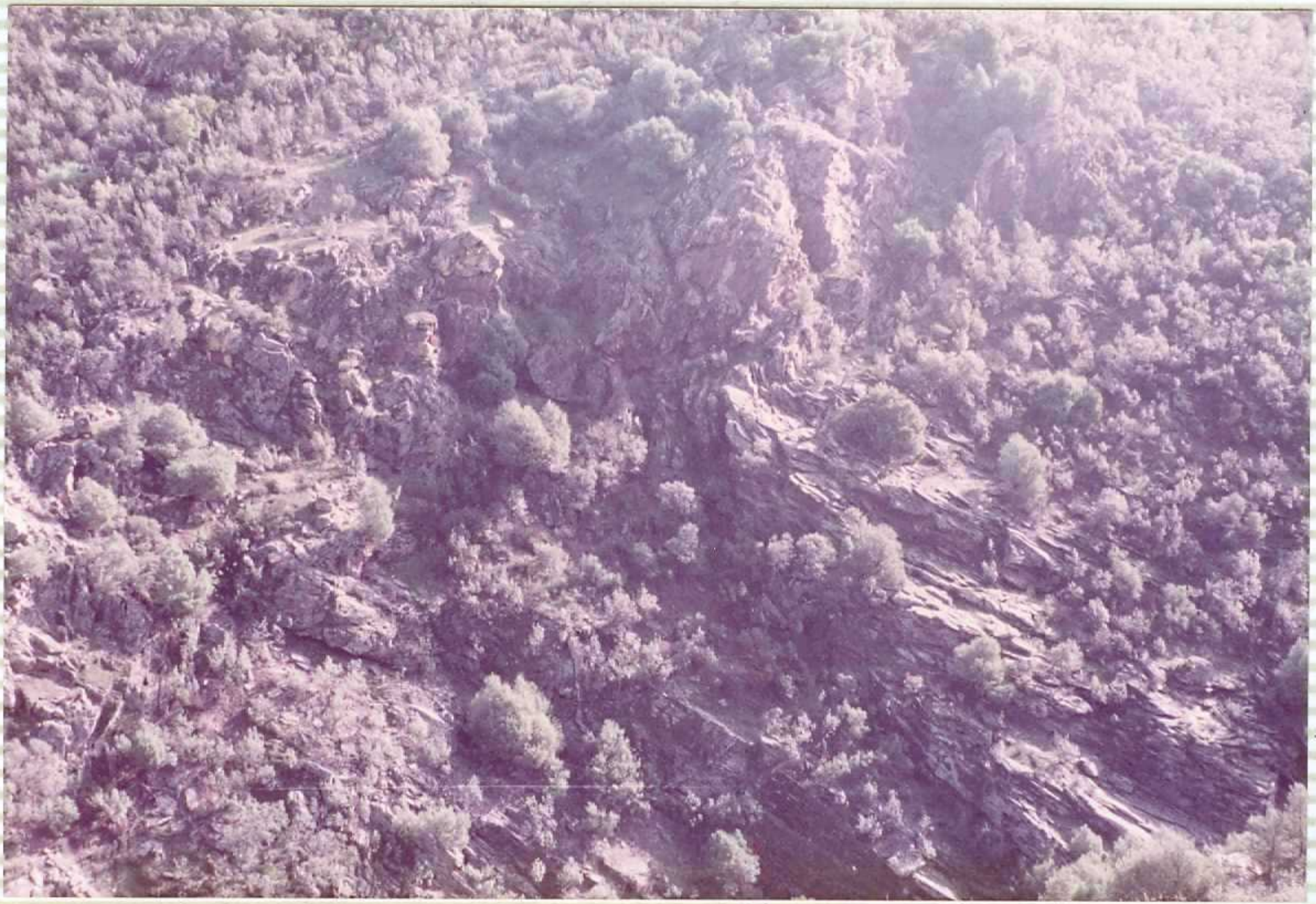
IB-1426-VM-9690.- Panorámica de las Cuarcitas Silúricas en el Valle de las Pelacillas.



IB-1426-VM-9691.- Cuarcitas Silúricas en la Carretera Bohonal - Fresnedoso de Ibor.



IB-1426-VM-9692.- Cuarcitas Silúricas en la Carrtera Bohonal - Fresnedoso de Ibor.



IB-1426-VM-9693.- Pliegue tumbado de 1ª fase en las Pizarras y cuarcitas del Silúrico Superior.





IB-1426-VM-9694.- Pliegue de 1ª Fase en las pizarras y cuarcitas del Silúrico Superior.





IB-1426-VM-9695.- Pliegue de 1ª Fase en las Pizarras y cuarcitas del Silúrico Superior.





IB-1426-VM-9696.- Afloramiento de conglomerados y arcosas en la carretera Navalmoral de la Mata - Guadalupe.



IB-1426-VM-9697.- Detalle de los conglomerados arcósicos y arcosas en el mismo afloramiento anterior.





IB-1426-VM-9698.- Conglomerados arcósicos y arcosas en la Carretera Berrocalejo-Valdeverdeja.



IB-1426-VM-9699.- Conglomerados arcósicos y arcosas en la Carretera Berrocalejo-Valdeverdeja.



IB-1426-VM-9700.- Detalle de los Conglomerados arcósicos y arcosas en el mismo afloramiento anterior.



IB-1426-VM-9701.- Conglomerados arcosicos y acósas. Detalle en la Carretera Berrocalejo - Valdeverdeja.





IB-1426-VM-9702.- Conglomerados arcósicos y arcosas en la carretera Berrocalejo - Valdeverdeja.



IB-1426-VM-9703.- Conglomerados arcósicos y arcosas en la carretera Berrocalejo - Valdeverdeja.



IB-1426-VM-9704.- Afloramiento de la formación Arcillar, arcosas y conglomerados con niveles carbonatados en la carretera Bohonal - Valdelacasa de Tajo



IB-1426-VM-9705.- Detalle de la Formación Arcillar, arcosas y conglomerados con niveles carbonatados en la carretera Bohonal- Valdelacasa de Tajo.





IB-1426-VM-9706.- Formación de Arcillas, arcosa y conglomerados con niveles carbonatados en la carretera Bohonal-Valdelacasa de Tajo.



IB-1426-VM-9707.- Raña de El Planchón. Al fondo la Cuarcita Armoricana.





IB-1426-VM-9708.- Bloques, cantos y arcillas (Raña) en la Ctera Bohonal-Valdelacasa de Tajo.



IB-1426-VM-9709.- Bloques, cantos y arcillas (Raña) en la Ctera Bohonal - Valdelacasa de Tajo.